

课程作业 (一)

李子牛, 沈炜霖, 陈辉

2018 年 11 月 25 日

1 问题

课程作业要求我们求解如下问题:

$$\begin{aligned} \min & \|\nabla u\|_p \\ \text{subject to} & Au = b \end{aligned} \tag{1}$$

其中等式约束由随机的傅里叶采样决定。实验中, 要求给出在 10 条线的采样下, $p = 0.1, 0.5, 0.8, 1$ 时的 Phantom 恢复图像。

2 算法

在求解问题时, 我们参考 [1] 提出的投影梯度法。具体而言, 输入平滑参数 ϵ , 衰减因子 α , 和迭代精度 δ , 初值 u_0 ; 每一步, 算法先根据目标函数计算出梯度, 然后搜索最优的步长以满足等式约束, 最终迭代输出恢复的图像 u_n 。算法框架见1。

3 结果

实验中, 我们采用 $\epsilon = 10, \alpha = 10$, 初始值为 mini-energy 恢复的结果, 最大迭代次数 2000, 采样矩阵参考 llmagic 的代码。

3.1 10 条线

按照题目要求, 我们给出 10 条线采样下的结果, 见图1、2、3、4。虽然恢复的效果很差, 但可以看出, 相同的采样下, p 越大, 恢复的效果越好。

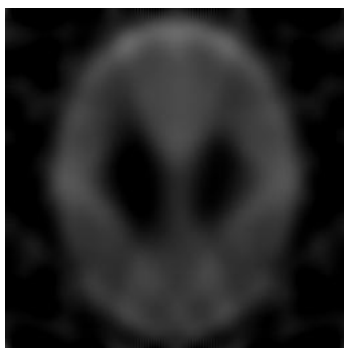
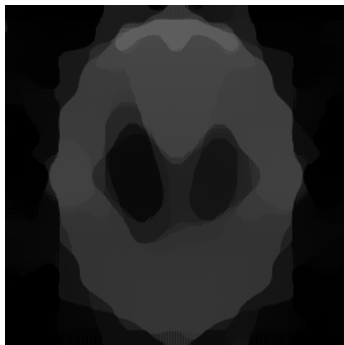
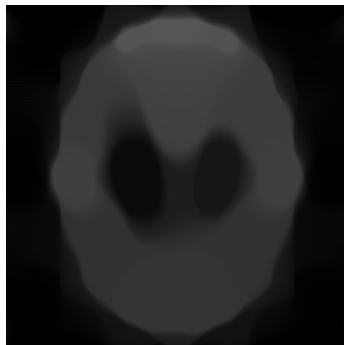
Algorithm 1 投影梯度法

H

```

repeat
   $d_n = -\text{div}\left((\sqrt{\nabla u_n^2} + \epsilon^2)^{p-2} \nabla u_n\right)$ 
  if  $\text{mod}(n, 100) == 0$  then
     $\text{step} = \min_t \|A(u_n + td_n) - b\|_2$ 
  end if
  if  $\text{mod}(n, 300) == 0$  then
     $\epsilon := \epsilon/\alpha$ 
  end if
   $u_{n+1} = u_n + \text{step} * d_n$ 
until  $\|u_n - x\|_\infty < \delta$ 

```

图 1: $p=0.1$, 10 条线图 2: $p=0.5$, 10 条线图 3: $p=0.8$, 10 条线图 4: $p=1.0$, 10 条线

3.2 30 条线

为了验证我们的算法确实在极小化 TV 的 l_p -norm, 我们增了采样数, 为 30 条线, 见图5、6、7、8。可以看到效果相比 10 条线的采样, 有很大的提升。

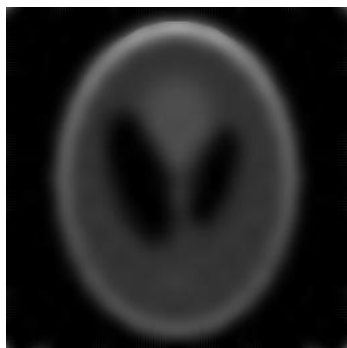


图 5: $p=0.1$, 30 条线

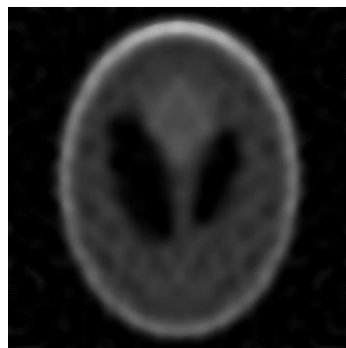


图 6: $p=0.5$, 30 条线

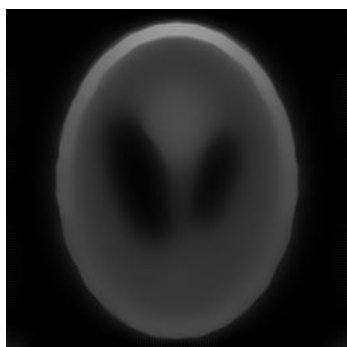


图 7: $p=0.8$, 30 条线



图 8: $p=1.0$, 30 条线

4 分析

实验中, 正如算法所示, 加入 ϵ 会平滑, 以及使得 $(\sqrt{\nabla u^2})^{p-2}$ 有意义, 但是算法的初始阶段, ϵ 较大, 得到的值几乎为 0, 算法几乎不下降; 在 ϵ 衰减几次后, 其不起作用, 极小化梯度会使得图像尽可能的平滑 (去噪声)。但是, 我们没能很好地控制 ϵ , 造成图像的过度平滑。

5 代码

```

1 clear;clc;
2 path(path, './Optimization');
3 path(path, './Measurements');
4 path(path, './Data');
5
6 % Phantom
7 n = 256;
8 N = n*n;
9 X = phantom(n);
10 x = X(:);
11 % l-p norm
12 epsilon = 10;
13 factor = 10;
14 p = 1.0;
15
16 % number of radial lines in the Fourier domain
17 L = 30;
18
19 % Fourier samples we are given
20 [M,Mh,mh,mhi] = LineMask(L,n);
21 OMEGA = mhi;
22 A = @(z) A_fhp(z, OMEGA);
23 At = @(z) At_fhp(z, OMEGA, n);
24
25 % measurements
26 y = A(x);
27
28 % min l2 reconstruction (backprojection)
29 xbp = At(y);
30 Xbp = reshape(xbp,n,n);
31
32 % recovery
33 tic
34 [gx, gy] = gradient(X);
35 tvI = sum(sum(sqrt(gx.^2 + gy.^2)));
36 fprintf('Original TV = %8.3f\n', tvI);
37
38 un = Xbp;
39 i = 0;
40 step = 0.01;
41 dis = 1000;
42 while true
43     i = i + 1;
44     [gx, gy] = gradient(un);

```

```

45 p_norm = sum(sum(power(sqrt(gx.^2 + gy.^2 ), p)));
46
47 coef = power(sqrt(gx.^2 + gy.^2 + epsilon^2), p-2);
48 tvU_x = coef .* gx;
49 tvU_y = coef .* gy;
50
51 dn = -divergence(tvU_x, tvU_y);
52 j = 0;
53 if mod(i, 100) == 0
54     for t = 1e-1: -1e-3 : 1e-4
55         j = j + 1;
56         u_next = un - t*dn;
57         y_next = A(u_next(:));
58         if abs(norm(y_next) - norm(y)) < sqrt(epsilon)/100
59             break;
60         end
61     end
62     step = t;
63 end
64 un = un - step*dn;
65 [gx, gy] = gradient(un);
66 p_norm_next = sum(sum(power(sqrt(gx.^2 + gy.^2 ), p)));
67 tol = max(max(un-X));
68 if max(max(un-X)) < dis
69     dis = tol;
70     imwrite(un,['figure/best.jpg']);
71 end
72 if mod(i, 100) == 0
73     fprintf('i=%i, j=%i, rate=%.3f \n', i, j, p_norm_next/p_norm);
74 end
75 if p_norm_next < p_norm * 0.95 || mod(i, 300) == 0
76     fprintf('shrink \n');
77     epsilon = epsilon / factor;
78     imwrite(un,['figure/', int2str(i), '.jpg']);
79 end
80 if i > 2000
81     break;
82 end
83 end
84 toc
85 Xtv = un;
86 figure();
87 subplot(1, 3, 1);
88 imshow(X);
89 subplot(1, 3, 2);
90 imshow(Xbp);

```

```
91 subplot(1, 3, 3);  
92 imshow(Xtv);
```

homework.m

参考文献

- [1] Rick Chartrand, "Exact reconstructions of sparse signals via nonconvex minimization," IEEE Signal Processing Letters, vol. 14, pp. 707–710, 2007